



شبیه‌سازی عددی جریان و انتقال حرارت خواص وابسته به دمای سیال ویسکوالاستیک در تبدیل واگرای متقارن محوری

علی منتهاei¹, محمدحسن شاهمردان^{2*}, محمود نوروزی³

۱- کارشناس ارشد، مهندسی مکانیک، دانشگاه صنعتی شهرود، شهرود

۲- دانشیار، مهندسی مکانیک، دانشگاه صنعتی شهرود، شهرود

۳- استادیار، مهندسی مکانیک، دانشگاه صنعتی شهرود، شهرود

* شهرود، صندوق پستی: ۳۶۱۹۹۹۵۱۶۱؛ mmshahmardan@shahroodut.ac.ir

چکیده

در تحقیق حاضر جریان آرام و انتقال حرارت سیال ویسکوالاستیک در تبدیل واگرای متقارن محوری با نسبت انبساط ۱:۳ مورد بررسی قرار گرفته است. برای شبیه‌سازی عددی جریان آرام و انتقال حرارت سیال ویسکوالاستیک از روش حجم محدود و الگوریتم پیزو استفاده شده. همچنین برای مطالعه تأثیر خاصیت الاستیک جریان سیال پلمری از مدل فن-تین-ترن غیرخطی استفاده شده است. بیشتر تتفقیقات انجام شده در این زمینه مطوف به بررسی پارامترهای هیدرودینامیکی جریان مانند بررسی تأثیر عدد رینولدز و خاصیت الاستیک بر طول گردابه‌هاست که با توجه به فقدان تحقیقی جامع در زمینه انتقال حرارت جریان سیالات ویسکوالاستیک در تبدیلات واگرای انجام تحقیق حاضر ضروری به نظر می‌رسد. از دیگر نوآوری‌های پژوهش حاضر در نظر گرفتن برخی از خواص رئولوژیکی و ترمودینامیکی سیال ویسکوالاستیک به صورت تابعی از دماس است که با توجه به حساسیت برخی از خواص سیال ویسکوالاستیک به دما، در نظر گرفتن این فرضیه در حل معادله انرژی ضروری به نظر می‌رسد. نتایج شبیه‌سازی عددی نشان می‌دهند که مقدار بیشینه ناسلت موضعی دواره پایین دست تبدیل واگرای تقریباً جایی است که گردابه‌ها پایان یافته‌اند و روند تغییرات سرعت به مانند لوله صاف شده است. همچنین با افزایش عدد رینولدز که منجر به افزایش طول و شدت گردابه‌ها می‌گردد، بیشینه ناسلت موضعی در ناحیه انبساط ناگهانی بیشتر به سمت پایین دست پیشروی می‌کند.

اطلاعات مقاله

مقاله پژوهشی کامل

دریافت: ۰۴ اردیبهشت ۱۳۹۵

پذیرش: ۲۳ مرداد ۱۳۹۵

ارائه در سایت: ۲۹ ابان ۱۳۹۵

کلید واژگان:

سیال ویسکوالاستیک

جریان و انتقال حرارت

عدد ناسلت

بدیل واگرای

The numerical simulation of flow and heat transfer of temperature dependent properties of viscoelastic fluid in an axisymmetric sudden expansion

Ali Montahaee¹, Mohammad Mohsen Shahmardan^{1*}, Mahmood Norouzi¹

1- Department of Mechanical Engineering, Shahrood University of Technology, Shahrood, Iran.

* P.O.B. 3619995161, Shahrood, Iran, mmshahmardan@shahroodut.ac.ir

ARTICLE INFORMATION

Original Research Paper

Received 23 April 2016

Accepted 13 August 2016

Available Online 19 November 2016

Keywords:

Viscoelastic fluid

Flow and Heat transfer

Nusselt Number

Sudden Expansion

ABSTRACT

In the current research, laminar flow and heat transfer of viscoelastic fluid in an axisymmetric sudden expansion with expansion ratio of 1:3 is investigated. Finite volume method and PISO algorithm are used for numerical simulation of flow and heat transfer of viscoelastic fluid. Also, to study the effect of elasticity property of polymeric fluid flow, nonlinear Phan-Thein-Tanner (PTT) rheological model is used. Most of the researches that have been done in this field are focused on investigating hydrodynamic parameters of flow, like studies on the effect of Reynolds number and elasticity property on vortice length, so due to the scarcity of comprehensive study about the heat transfer of viscoelastic fluid flow in sudden expansion, performing the present study seems necessary. Considering some of the rheological and thermodynamic properties of viscoelastic fluid as a function of temperature is the other innovation of the current study which, due to the sensitivity of some of the viscoelastic properties to temperature, considering this hypothesis for solving energy equation is necessary. The results of numerical simulation show that the maximum quantity of local Nusselt of sudden expansion for downstream wall is approximately where vortices finish and the procedure of velocity variation is similar to a smooth pipe. Also, with increasing Reynolds number that led to enhancing length and intensity of vortices, the maximum local Nusselt in sudden expansion region moves further toward downstream.

۱- مقدمه

به همین دلیل محققین بسیاری به بررسی تجربی و عددی جریان سیالات در کانال‌ها و لوله‌های دارای انبساط تدریجی و ناگهانی پرداخته‌اند. تغییر ناگهانی سطح مقطع در بسیاری از تجهیزات صنعتی نظیر مشعل‌ها، اسپری‌های خشک‌کن و فرآیندهای پرکردن قالب‌های ریخته‌گری رخ می‌دهد. مطالعات آزمایشگاهی دیورست و همکارانش [۱]، چدرون و همکارانش

Please cite this article using:

A. Montahaee, M. M. Shahmardan, M. Norouzi, The numerical simulation of flow and heat transfer of temperature dependent properties of viscoelastic fluid in an axisymmetric sudden expansion, *Modares Mechanical Engineering*, Vol. 16, No. 11, pp. 39-49, 2016 (in Persian)

برای ارجاع به این مقاله از عبارت ذیل استفاده نمایید:

خط مرکزی از نتایج این تحقیق است. پول و همکاران [12] تأثیر نسبت انبساط بر طول و قدرت گردابه‌ها با حل عددی جریان خوش سیال ویسکوالاستیک در تبدیل واگرای صفحه‌ای بررسی کردند. نتایج این تحقیق نشان می‌دهد که در نسبت‌های انبساط پایین ($3 < ER$) تغییرات یکنواختی در مشخصات جریان مشاهده نمی‌شود، به گونه‌ای که با کاهش عدد دورا طول گردابه‌ها کاهش و با افزایش آن طول گردابه‌ها نیز افزایش می‌یابد، در حالی که در نسبت‌های انبساط بزرگ ($ER \geq 3$) طول و قدرت گردابه‌ها با افزایش عدد دورا کاهش می‌یابند. پول و همکاران در تحقیقی دیگر [13] جریان خوشی سیال ویسکوالاستیک را با استفاده از مدل‌های ماکسول بالادست⁴، الدروید-بی⁵ و فن‌تین-تنر خطی⁶ در تبدیل واگرای صفحه‌ای با نسبت انبساط 1:3 بررسی کردند. الیپرا و همکاران [14] جریان خوشی و آرام سیال ویسکوالاستیک را در تبدیل واگرای صفحه‌ای با نسبت انبساط 1:3 مورد مطالعه قرار داده‌اند. ایشان در این تحقیق با استفاده از مدل فن-سی آر نشان دادند خاصیت الاستیک سیال سبب پایداری جریان می‌شود و عدد رینولدز بحرانی برای سیال نیوتونی بیشتر از سیال ویسکوالاستیک است. مطالعات تجربی پاک و همکاران [15] تنها تحقیقی است که در آن به بررسی جریان سیال ویسکوالاستیک در تبدیل واگرای متقارن محوری پرداخته شده است. نتایج این تحقیق نشان می‌دهد که طول گردابه‌ها در رژیم جریان آرام برای سیال ویسکوالاستیک نسبت به سیال نیوتونی کمتر است، در حالی که طول گردابه‌های سیال ویسکوالاستیک در جریان آشفته چند برابر سیال نیوتونی است. نوروزی و همکاران [16] جریان آرام و تراکمناپذیر سیال ویسکوالاستیک را در تبدیل واگرای صفحه‌ای دو بعدی با انبساط تدریجی در زوایای انبساط 30، 60، 45 و 90 و نسبت انبساط 1:3 مورد بررسی قرار داده‌اند. آن‌ها طول گردابه‌های متقارن و نامتقارن را در محدوده وسیعی از اعداد رینولدز و ایزنبیرگ برای سه زاویه انبساط 30، 60، 45 و 90 با استفاده از مدل فن‌تین-تنر غیرخطی⁷ برای شبیه‌سازی ترم‌های تنش سیال ویسکوالاستیک مورد مطالعه قرار داده‌اند.

همان گونه که پیش از این یاد شد تحقیقات بسیاری به بررسی جریان سیالات غیرنیوتونی و ویسکوالاستیک در تبدیلات واگرایی پرداخته شده است. در بیشتر این تحقیقات به بررسی پارامترهای هیدرودینامیکی جریان مانند پیداکردن عدد رینولدز بحرانی در انتقال جریان از حالت متقارن به نامتقارن، بررسی طول گردابه‌ها و افت فشار جریان پرداخته‌اند و تحقیقات بسیار اندکی به مطالعه انتقال حرارت جریان سیالات ویسکوالاستیک و بررسی پارامترهای حرارتی جریان مانند توزیع نسلت موضعی و متوسط پرداخته‌اند. معادلات بقاعی جرم و مومنت برای سیالات نیوتونی به طور همزمان حل شده و سپس مقادیر به دست آمده برای سرعت در معادله انرژی قرار می‌گیرند. در سیالات غیرنیوتونی به ویژه سیالات ویسکوالاستیک لزجت وابستگی شدیدی به دما دارد. برای سیالات ویسکوالاستیک وابستگی لزجت به دما با در نظر گرفتن یکتابع مشخص می‌شود و معادلات بقاعی جرم و اندازه حرکت به طور همزمان با معادله انرژی حل می‌شوند. در ادامه به تحقیقاتی که تاکنون به بررسی انتقال حرارت جریان سیالات غیرنیوتونی و ویسکوالاستیک در تبدیلات واگرایی پرداخته اشاره می‌شود. مoshatis و همکاران [17] جریان آرام و تراکمناپذیر سیال غیرنیوتونی را با استفاده از مدل توانی در تبدیل واگرایی صفحه‌ای سه‌بعدی با نسبت انبساط 1:2 مورد مطالعه قرار داده‌اند. آن‌ها با

[2] و اووا و همکارانش [3] با تکیه بر آگاهی نویسنده از نخستین تحقیقات بررسی جریان سیال نیوتونی در هندسه انبساط ناگهانی است. ایشان با بررسی جریان آرام سیال نیوتونی در هندسه انبساط ناگهانی متقارن صفحه‌ای به شایع‌ترین پدیده رایج در این هندسه یعنی شاخه‌ای شدن گردابه‌ها¹ پرداختند. نتایج تحقیقات نشان می‌دهد که جریان سیال در هندسه انبساط ناگهانی متقارن صفحه‌ای در اعداد رینولدز کم متقارن باقی می‌ماند، ولی جریان سیال با از حد بحرانی گذشتن عدد رینولدز تقارن خود را از دست می‌دهد و گردابه‌های بالا و پایین در اندازه اختلاف پیدا می‌کنند. چنین پدیده‌ای در جریان سیال در هندسه انبساط ناگهانی متقارن صفحه‌ای تقارن خود را از دست می‌دهد، پدیده شاخه‌ای شدن گردابه‌ها می‌نماند. کندوه و همکاران [4] جریان آرام و انتقال حرارت سیال نیوتونی را در تبدیل واگرای صفحه‌ای سه‌بعدی مورد مطالعه قرار داده‌اند. اثر نسبت انبساط، عدد رینولدز و عدد پرانتل بر توزیع نسلت موضعی دیواره پایین دست تبدیل و اگر در این تحقیق مورد مطالعه قرار گرفته است. شاهمردان و همکاران [5] جریان آرام و تراکمناپذیر سیال نیوتونی را با استفاده از شبیه‌سازی عددی در تبدیل واگرای صفحه‌ای دو بعدی با انبساط تدریجی در زوایای انبساط 30، 60، 45 و 90 و نسبت انبساط 1:3 مورد مطالعه قرار داده‌اند. تأثیر زاویه انبساط و عدد رینولدز بر نایابداری‌های جریان در این تحقیق بررسی شده و نمودار چند شاخه‌ای شدن برای طول گردابه‌ها در زوایای انبساطی مختلف ترسیم شده است.

محققین در راستای رشد صنایع مختلف با سیالاتی مواجه شدند که رفتار برشی آن‌ها با استفاده از مدل ارائه شده توسعه نیوتون قابل توصیف نبود و نیاز به مطالعه جریان این سیالات منجر به پیدایش دسته دیگری از سیالات به نام سیالات غیرنیوتونی شد. جریان سیالات غیرنیوتونی به دلیل کاربردهای گسترده آن‌ها در صنایع مختلف نظر نفت و پتروشیمی، مواد غذایی و تولید مواد روان کاری توجه بسیاری از محققین را جلب کرد. در مراجع [6-8] با استفاده از مدل توانی²، جریان آرام و تراکمناپذیر سیال غیرنیوتونی در تبدیل واگرای صفحه‌ای دو بعدی مورد مطالعه قرار گرفته است. اثر شاخص توانی روی طول گردابه‌ها و انتقال جریان از حالت متقارن به نامتقارن در این مطالعات بررسی شده است. نتایج این تحقیق‌ها نشان می‌دهد رفتار رقیق‌شوندگی سیال ($1 < n$) سبب تأخیر در پدیده دوشاخه‌ای می‌شود و برای حالت غلیظ‌شوندگی ($n > 1$) نتیجه عکس است. پنهان و همکاران [9] جریان آرام و تراکمناپذیر سیال غیرنیوتونی را با استفاده از مدل توانی در تبدیل واگرایی متقارن محوری به صورت عددی شبیه‌سازی کردند. در این تحقیق رابطه‌ای کلی برای افت فشار به صورت تابعی از عدد رینولدز و اندیس توانی ارائه شده است. دهیناکاران و همکاران [10] جریان آرام و تراکمناپذیر سیال غیرنیوتونی رقیق‌شونده و غلیظ‌شونده را در تبدیل واگرای صفحه‌ای سه‌بعدی با نسبت انبساط 1:3 بررسی کردند. نتایج این تحقیق نشان می‌دهد طول گردابه با افزایش خاصیت غلیظ‌شوندگی سیال افزایش می‌یابد، این در حالی است که افزایش خاصیت رقیق‌شوندگی سبب کاهش طول گردابه‌ها می‌شود. روجا و همکاران [11] جریان آرام سیال ویسکوالاستیک را با مدل فن-سی آر³، در تبدیل واگرای صفحه‌ای با نسبت انبساط 1:4 مورد بررسی قرار داده‌اند. پیش‌بینی عدد رینولدز بحرانی برای انتقال جریان از حالت متقارن به نامتقارن، خطوط جریان و توزیع سرعت و فشار در امتداد

⁴. Upper Convected Maxwell (UCM)⁵. Oldroyd-B⁶. Linear Phan-Thein-Tanner (LPTT)⁷. Exponential Phan-Thein-Tanner¹. Bifurcation phenomena². Power Law³. Finitely Extensive Nonlinear Elastic-Chillcot-Rallison (FENE-CR)

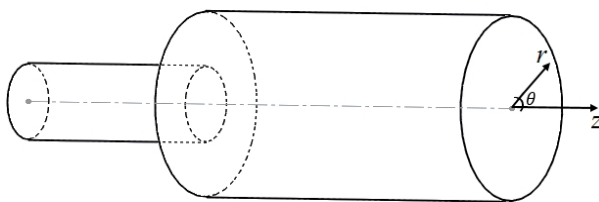


Fig. 1 Schematic figure of problem geometry

شکل ۱ شکل شماتیک هندسه مسئله

روابط (2,1) به ترتیب معادلات بقای جرم و اندازه حرکت جریان سیال است که \tilde{v} بردار سرعت، p فشار استاتیکی، ρ چگالی سیال و τ تانسور تنشن است، رابطه (3) معادله حاکم بر انتقال حرارت جریان سیال که T دمای سیال، C_p طرفیت ویژه حرارتی و k ضریب رسانش سیال است.

2-1-2- معادله ساختاری

در سیالات ویسکوالاستیک تنشن کلی که شامل تنشن ماده حلال نیوتونی و

تنشن ماده حل شونده پلیمری است به صورت رابطه (4) تعریف می‌شود [24].

$$\tau = \tau_p + \tau_s \quad (4)$$

تنشن ماده حلال نیوتونی از حل معادله ساختاری رابطه (5) به دست می‌آید [24].

$$\tau_s = \dot{\gamma} \eta_s \quad (5)$$

در رابطه (5) η_s ویسکوزیته ماده حلال نیوتونی و $\dot{\gamma}$ نرخ برش است که به

صورت رابطه (6) تعریف می‌شود [24].

$$\dot{\gamma} = \nabla V + |\nabla V|^T \quad (6)$$

در این تحقیق از معادله مشکله فن تین - تتر جهت شبیه‌سازی میدان تنشن سیال ویسکوالاستیک استفاده شده است. این مدل یکی از پرکاربردترین مدل‌های ویسکوالاستیک است که براساس تئوری شبکه برای مذاب‌ها و محلول‌های پلیمری طراحی شده است. تنشن پلیمری در مدل فن تین - تتر از حل معادله ساختاری (7) به دست می‌آید [24].

$$f(tr\tau_p)\tau_p + \lambda(\tau_p^7 + \xi(\tau_p D + D\tau_p)) = 2\eta_p D \quad (7)$$

در رابطه (7)، τ_p^7 مشتق فوق هم‌رفتی تانسور تنشن پلیمری، λ زمان رهایی از تنشن، η_p ویسکوزیته ماده پلیمری، D نرخ تغییر شکل و ξ پارامتر کشش این مدل است. برای مدل فن تین - تتر در تحقیقات صورت گرفته سه حالت برای تابع $f(tr\tau_p)$ به صورت رابطه (8) در نظر می‌گیرند [25]. در این تحقیق جهت شبیه‌سازی ترم تنشن سیال ویسکوالاستیک از مدل فن - تین - تتر غیرخطی استفاده شده است.

$$f(tr\tau_p) = \begin{cases} 1 + \frac{\varepsilon\lambda}{\eta_p} tr\tau_p & \text{مدل خطی} \\ 1 + \frac{\varepsilon\lambda}{\eta_p} tr\tau_p + \frac{1}{2}\left(\frac{\varepsilon\lambda}{\eta_p} tr\tau_p\right)^2 & \text{مدل درجه دوم} \\ \exp\left(\frac{\varepsilon\lambda}{\eta_p} tr\tau_p\right) & \text{مدل غیرخطی} \end{cases} \quad (8)$$

2-1-3- بی‌بعدسازی معادلات حاکم

شبیه‌سازی جریان و انتقال حرارت سیال ویسکوالاستیک در تبدیل واگرای متقارن محوری در این تحقیق با استفاده از دستگاه مختصات استوانه‌ای انجام

عامل شار حرارتی ثابت بر دیواره‌های تبدیل واگرای صفحه‌ای دریافتند که ناسلت موضعی با افزایش عدد پرانتل افزایش می‌یابد و بیشترین مقدار ناسلت موضعی در ناحیه انبساط ناگهانی رخ می‌دهد. از دیگر نتایج این تحقیق می‌توان به افزایش مقدار ناسلت موضعی با افزایش اندايس توافقی اشاره کرد. زدادانسکی و همکاران [20-18] جریان آرام و تراکم‌ناپذیر مذاب پلیمری را در تبدیل واگرای صفحه‌ای مورد مطالعه قرار داده‌اند. بررسی اثر اعمال ترم تلفات در معادله انرژی بر پارامترهای جریان و مطالعه تأثیر تغییرات دمای ورودی بر افت فشار جریان مذاب پلیمری در نسبت‌های انبساط مختلف از جمله مواردی است که در این پژوهش‌ها مورد بررسی قرار گرفته‌اند. زدادانسکی و همکاران [21] در تازه‌ترین پژوهش خود جریان آرام و تراکم‌ناپذیر مذاب پلیمری را در یک کانال دوبعدی دارای انبساط و انقباض ناگهانی بررسی کردند. در این تحقیق صرفاً به بررسی توزیع ناسلت موضعی در دیواره‌های افقی هندسه مسئله با استفاده از مدل اصلاح‌شده کراس¹ که در آن ویسکوزیته علاوه‌بر نرخ برش به دما نیز وابسته است پرداخته‌اند. مطالعات آزمایشگاهی پاک و همکاران [22] تنها پژوهشی است که در آن انتقال حرارت جریان سیال ویسکوالاستیک در تبدیل واگرای متقارن محوری مورد بررسی قرار گرفته است. ایشان در آزمایش‌های خود مقدادر ناسلت موضعی و متوسط را در تبدیل واگرای متقارن محوری با بررسی جریان آشفته سیال ویسکوالاستیک در محدوده رینولدز $6200 \leq Re \leq 63000$ و عدد پرانتل $8/5 \leq Pr \leq 16/2$ به دست آورده‌اند.

با وجود تحقیقات بسیار کمی که در آن به بررسی انتقال حرارت جریان سیالات غیرنیوتونی و ویسکوالاستیک در تبدیلات واگرای پرداخته شده، انتقال حرارت جریان آرام سیالات ویسکوالاستیک در تبدیلات واگرای صفحه‌ای و متقارن محوری موضعی است که تاکنون در هیچ تحقیقی مطالعه نشده است. در این تحقیق جریان آرام و انتقال حرارت سیال ویسکوالاستیک در تبدیل واگرای متقارن محوری با نسبت انبساط 1:3 مورد بررسی قرار می‌گیرد. استفاده از مدل فن تین - تتر غیرخطی برای شبیه‌سازی ترم‌های تنشن سیال ویسکوالاستیک و در نظر گرفتن برشی از خواص رئولوژیکی و ترمودینامیکی سیال ویسکوالاستیک به صورت تابعی از دما از نوآوری‌های تحقیق کنونی هستند. شکل 1 نمایی سه‌بعدی از هندسه مسئله را نشان می‌دهد. مطابق شکل 1 هندسه مسئله از اتصال دو لوله با نسبت قطرهای 1:3 تشکیل شده است.

2- مدل‌سازی ریاضی

در این بخش معادلات حاکم بر جریان و انتقال حرارت، هندسه و شرایط مرزی مسئله ارائه می‌شود.

2-1-1- معادلات حاکم

2-1-1-1- معادلات حاکم بر جریان و انتقال حرارت

در این قسمت معادلات حاکم بر جریان و انتقال حرارت سیال ویسکوالاستیک ارائه می‌شود. معادلات حاکم بر مسئله مورد نظر شامل معادلات بقای جرم، مومنتوم و انرژی که به ترتیب در روابط (3-1) آورده شده است [23].

$$\frac{\partial \rho}{\partial t} + \vec{\nabla} \cdot (\rho \vec{V}) = 0 \quad (1)$$

$$\rho \left(\frac{\partial \vec{V}}{\partial t} + (\vec{V} \cdot \vec{\nabla}) \vec{V} \right) = -\vec{\nabla} p + \vec{\nabla} \cdot \tau \quad (2)$$

$$\rho C_p \left(\frac{\partial T}{\partial t} + \vec{V} \cdot \vec{\nabla} T \right) = \vec{\nabla} \cdot (k \vec{\nabla} T) \quad (3)$$

¹. Cross

هندسی (L/d) و (d/L) باید به اندازه کافی بزرگ باشند تا جریان در هردو قسمت بالادست و پایین دست تبدیل واگرا به حالت توسعه یافته هیدرودینامیکی و در قسمت پایین دست به توسعه یافتنی حرارتی تبدیل شود. در این تحقیق طول بخش اول (l), 30 برابر قطر لوله ورودی ($L = 60d$) و طول بخش دوم (L), 60 برابر قطر لوله ورودی ($L = 60d$) در نظر گرفته شده است. در ورودی لوله فرض بر این است که جریانی با سرعت و دمای یکنواخت وارد می‌شود. میدان تنش و گرادیان فشار در این مرز صفر در نظر گرفته شده است. در مجاورت دیوارهای لوله از شرط نداشتن لغزش برای مؤلفه‌های میدان سرعت و دمای ثابت برای میدان دما استفاده شده است. مؤلفه‌های میدان سرعت و تنش در خروجی لوله گرادیان دما صفر فرض شده‌اند.

3- روش حل عددی

در این تحقیق از نرم‌افزار متن باز اپن فوم¹ جهت شبیه‌سازی جریان و انتقال حرارت سیال ویسکوالاستیک استفاده شده است. نرم‌افزار اپن فوم یک جعبه ابزار دینامیک سیالات محاسباتی است که قادر به مدل‌سازی هر نوع مسئله‌ای شامل معادلات دیفرانسیل جزئی از جمله حل عددی جریان و انتقال حرارت سیالات است. امکان بررسی تمامی جنبه‌های کدنویسی از جمله تغییر و توسعه حلگرهای آن به دلیل باز یا آزاد بودن منبع کدهای این نرم‌افزار وجود دارد. در تحقیق حاضر از این مزیت نرم‌افزار اپن فوم به درستی استفاده شده است. در واقع حلگر ویسکوالاستیک می‌پردازد؛ بنابراین به حل جریان آرام و تراکم‌ناپذیر سیال ویسکوالاستیک می‌پردازد؛ معادله انرژی با استفاده از قابلیت توسعه ساختار و سلسه مراتب حلگرهای در این نرم‌افزار به حلگر ویسکوالاستیک اضافه شده است. در این تحقیق علاوه بر حل همزمان معادله انرژی به همراه معادلات بقا، برخی از خواص رئولوژیکی و ترمودینامیکی سیال مانند لزجت (η)، زمان رهایی از تنفس (λ)، ضربی رسانش (k) و ظرفیت حرارتی ویژه (C_p)، به صورت تابعی از دمای نقطه‌ای سیال در نظر گرفته شده است. کمیت‌های یادشده با این فرضیات پس از هر مرحله با دمای جدید محاسبه شده و در گام جدید مورد استفاده قرار می‌گیرند. به این منظور از توابع پیشنهادی مارک [26]. روابط (28-24). استفاده شده است.

$$a(T) = \exp \left[\alpha \left(\frac{1}{T + 273.15} - \frac{1}{T_{in} + 273.15} \right) \right] \quad (24)$$

$$\eta(T) = \eta_0 a(T) \quad (25)$$

$$\lambda(T) = \lambda_0 a(T) \quad (26)$$

$$k(T) = k_0 (k_0^* + k_s^* T) \quad (27)$$

$$C_p(T) = C_{p,0} (C_{p,0}^* + C_{p,s}^* T) \quad (28)$$

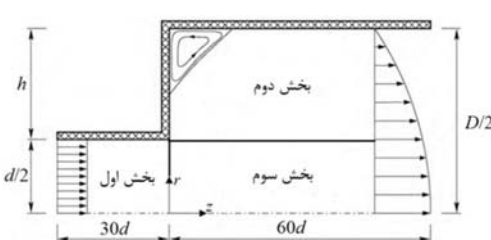


Fig. 2 Schematic figure of problem geometry

شکل 2 شماتیک هندسه مسئله

¹. OpenFoam

شده است. پارامترهای بدون بعد مسئله شامل روابط (9-17) است.

$$r^* = \frac{r}{d} \quad z^* = \frac{z}{d} \quad (9)$$

$$v_r^* = \frac{v_r}{U_{in}} \quad v_z^* = \frac{v_z}{U_{in}} \quad (10)$$

$$p^* = \frac{pd}{\eta_0 U_{in}} \quad \tau^* = \frac{\tau d}{\eta_0 U_{in}} \quad (11)$$

$$\tau_p^* = \frac{\tau_p^* d^2}{\eta_0 U_{in}^2} \quad \eta^* = \frac{\eta}{\eta_0} \quad (12)$$

$$\beta = \frac{\eta_s}{\eta_0} \quad \nabla^* = \nabla d \quad (13)$$

$$D^* = \frac{Dd}{U_{in}} \quad Re = \frac{\rho U_{in} d}{\eta_0} \quad (14)$$

$$We = \frac{\lambda U_{in}}{d} \quad En = \frac{We}{Re} \quad (15)$$

$$T_T = \frac{T - T_w}{T_{in} - T_w} \quad \alpha = \frac{k}{\rho C_p} \quad (16)$$

$$Pr = \frac{\eta_0}{\rho \alpha} \quad (17)$$

روابط (3-1) صورت کلی معادلات حاکم بر جریان و انتقال حرارت سیال ویسکوالاستیک است. صورت بدون بعد معادلات پیوستگی، مومنتوم و انرژی با در نظر گرفتن سیستم مختصات استوانه‌ای برای هندسه متقارن محوری در دستگاه مختصات استوانه‌ای به شکل روابط (18-21) در می‌آیند.

$$\frac{1}{r^*} \frac{\partial}{\partial r^*} (r^* v_r^*) + \frac{\partial v_z^*}{\partial z^*} = 0 \quad (18)$$

$$v_r^* \frac{\partial v_r^*}{\partial r^*} + v_z^* \frac{\partial v_r^*}{\partial z^*} = \frac{1}{Re} \left(- \frac{\partial p^*}{\partial r^*} + \frac{\partial \tau_{rr}^*}{\partial r^*} + \frac{\partial \tau_{rz}^*}{\partial z^*} + \frac{\tau_{rr}^* - \tau_{\theta\theta}^*}{r^*} \right) \quad (19)$$

$$v_r^* \frac{\partial v_z^*}{\partial r^*} + v_z^* \frac{\partial v_z^*}{\partial z^*} = \frac{1}{Re} \left(- \frac{\partial p^*}{\partial z^*} + \frac{1}{r^*} \frac{\partial}{\partial r^*} (r^* \tau_{rz}^*) + \frac{\partial \tau_{zz}^*}{\partial z^*} \right) \quad (20)$$

$$v_r^* \frac{\partial T_T}{\partial r^*} + v_z^* \frac{\partial T_T}{\partial z^*} = \frac{1}{Re Pr} \left(\frac{1}{r^*} \frac{\partial}{\partial r^*} (r^* \frac{\partial T_T}{\partial r^*}) + \frac{\partial^2 T_T}{\partial z^*} \right) \quad (21)$$

همچنین صورت بدون بعد معادله مشتمل فن-تین-تر (رابطه (7)) به صورت رابطه (22) است.

$$f(tr\tau_p^*)\tau_p^* + We \left(\tau_p^* v_r^* + \xi (\tau_p^* D^* + D^* \tau_p^*) \right) = 2(1 - \beta) D^* \quad (22)$$

در رابطه (22) عبارت $f(tr\tau_p^*)$ برای مدل‌های فن-تین-تر خطی، درجه دوم و غیرخطی به صورت رابطه (23) تعریف می‌شود.

$$f(tr\tau_p^*) = \begin{cases} 1 + \frac{\varepsilon We}{1 - \beta} tr\tau_p^* & \text{مدل خطی} \\ 1 + \frac{\varepsilon We}{1 - \beta} tr\tau_p^* + \frac{1}{2} \left(\frac{\varepsilon We}{1 - \beta} tr\tau_p^* \right)^2 & \text{مدل درجه دوم} \\ \exp \left(\frac{\varepsilon We}{1 - \beta} tr\tau_p^* \right) & \text{مدل غیرخطی} \end{cases} \quad (23)$$

2- هندسه مسئله و شرایط مرزی

همان‌طور که در شکل 2 مشخص است، پارامترهای هندسه مسئله شامل طول و قطر لوله بالادست (l, d), طول و قطر لوله پایین دست (L, D) و اختلاف شعاع دو لوله ($h = (D - d)/2$) می‌باشند. شایان ذکر است، نسبت‌های

با توجه به نتایج جدول 2 و شکل 4 می‌توان با تقریب خوبی از شبکه M3 برای انجام محاسبات عددی در تحقیق کنونی استفاده کرد.

4-2-2- ارزیابی صحت نتایج

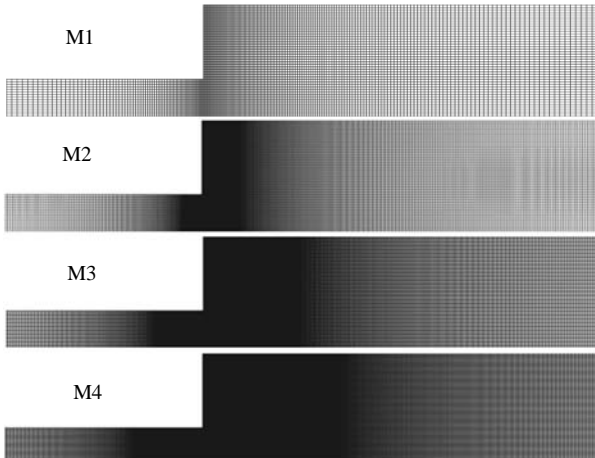
در این قسمت صحت نتایج حاصل از حل عددی جریان و انتقال حرارت مورد بررسی قرار می‌گیرد.

4-2-1- ارزیابی صحت نتایج حل عددی میدان جریان

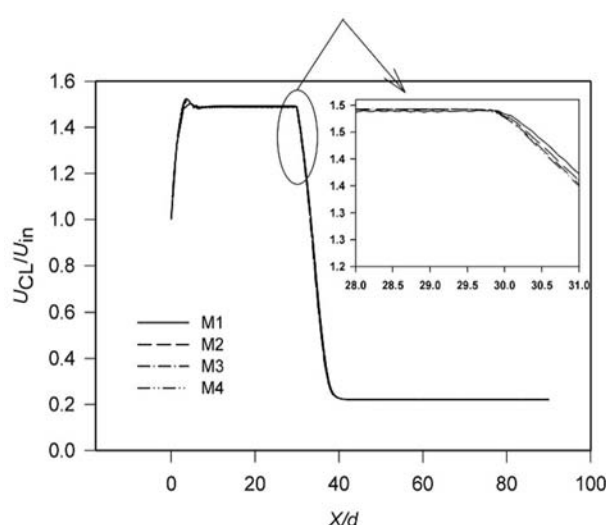
در این قسمت نتایج حاصل از حل عددی جریان آرام و توسعه سیال نیوتونی و ویسکوالاستیک در لوله با حل تحلیلی آن جهت ارزیابی صحت نتایج حل عددی برنامه رایانه‌ای مورد مقایسه قرار می‌گیرد.

حل تحلیلی پروفیل سرعت جریان آرام و توسعه‌یافته سیال نیوتونی در لوله به صورت رابطه (29) تعریف می‌شود [23].

$$u(r) = -\frac{1}{4\mu} \left(\frac{dp}{dz} \right) r_0^2 \left[1 - \left(\frac{r}{r_0} \right)^2 \right] \quad (29)$$



شکل 3 شبکه محاسباتی هندسه مسئله برای چهار نوع مش



شکل 4 مقایسه سرعت روی خط مرکزی تبدیل واگرای متقارن محوری با نسبت انبساط 1:3 برای چهار نوع شبکه M1, M2, M3 و M4 به ازای $Re = 60$ و $En = 0.017$

شکل 4 مقایسه سرعت روی خط مرکزی تبدیل واگرای متقارن محوری با نسبت

انبساط 1:3 برای چهار نوع شبکه M1, M2, M3 و M4 به ازای $Re = 60$ و $En = 0.017$

تمامی روابط بالا به حلگر یادشده اضافه شده است. تمامی متغیرها از جمله سرعت و فشار در این نرم‌افزار در مرکز سلول‌ها تعریف می‌شوند و برای حل معادلات سرعت، فشار و دما از الگوریتم پیزو¹ استفاده می‌شود. جهت گسسته‌سازی ترم مشتق زمانی از روش اول² و برای گسسته‌سازی گرادیان فشار و سرعت از روش خطی گوس³ استفاده شده است. جملات شامل عملگر دیورژانس با روش گاوس مین مد⁴ و جملات شامل عملگر لاپلاسین با روش گوس خطی تصحیح شده⁵ گسسته‌سازی شده‌اند. با گسسته‌سازی معادلات حاکم دستگاه معادلات خطی تشکیل می‌شود. این دستگاه معادلات با استفاده از روش گرادیان مزدوج برای فشار و گرادیان غیرمزدوج پایدار برای مؤلفه‌های سرعت، دما و تنش حل می‌شود.

4- نتایج

4-1- استقلال حل عددی از شبکه محاسباتی

در این قسمت استقلال حل عددی را از شبکه محاسباتی بررسی می‌کنیم. به طور کلی کوچک کردن سلول‌های شبکه از یک سو سبب دقیق‌تر شدن حل عددی می‌شود و از سوی دیگر هزینه محاسباتی را می‌افزاید. به همین دلیل محدوده حل با چهار شبکه مختلف بررسی شده است. نام‌گذاری این چهار شبکه با توجه به تعداد سلول‌های آن‌ها به ترتیب M1, M2, M3 و M4 است. براساس شکل 2 هندسه مسئله از دو قسمت بالادست و پایین‌دست جریان تشکیل می‌شود که به ترتیب با بخش‌های اول، دوم و سوم معرفی شده‌اند. تعداد سلول‌های متفاوتی در راستای شعاعی و محوری برای شبکه‌بندی‌های مختلف در نظر گرفته شده است. مشخصات این شبکه‌بندی‌ها در جدول 1 آرائه شده است.

در شکل 3 مشبکه هندسه مسئله برای این چهار شبکه نشان داده شده است.

در این قسمت شبکه M4 به عنوان شبکه مرجع برای بررسی استقلال حل عددی از شبکه محاسباتی در نظر گرفته شده است و طول گرایه‌ها برای جریان سیال نیوتونی در عدد رینولدز 50 و جریان سیال ویسکوالاستیک در عدد رینولدز 60 برای شبکه‌های M1, M2, M3 و M4 با شبکه مرجع (M4) مورد مقایسه قرار گرفته است. نتایج این مقایسه و درصد خطای نسبی ناشی از آن در جدول 2 آورده شده‌است.

در شکل 4 سرعت روی خط مرکزی تبدیل واگرای متقارن محوری با نسبت انبساط 1:3 برای چهار شبکه M1, M2, M3 و M4 مقایسه شده است. براساس شکل 4 سرعت روی خط مرکزی برای شبکه M3 تفاوت کمی با شبکه M4 دارد. بدینهای است افزایش تعداد سلول‌های شبکه محاسباتی سبب افزایش دقت حل عددی و کاهش خطای محاسبات می‌شود. باید توجه داشت که این امر سبب افزایش شدید زمان محاسبات نیز می‌شود. در نتیجه

جدول 1 مشخصات سلول‌های شبکه‌های محاسباتی

Table 1 Characteristics of computational grids cells

M4 $N_r \times N_z$	M3 $N_r \times N_z$	M2 $N_r \times N_z$	M1 $N_r \times N_z$
25×300	20×225	15×150	10×75
50×600	40×450	30×300	20×150
25×600	20×450	15×300	10×150

¹. Simple Algorithm

². Euler Method

³. Gauss Linear Method

⁴. Gauss Minmod Method

⁵. Gauss Linear Corrected Method

جدول 2 مقایسه طول گردابهای در چهار نوع شبکه‌بندی به همراه خطای نسبی

Table 2 Comparison of vortices length in four meshes whit relative error

مشخصات جریان	نوع جریان
Re = 50	جریان سیال نیوتینی
Re = 60 En = 0.017	جریان سیال ویسکوالاستیک

این قیاس (ER) بیان شده است. نتایج حاصل از حل عددی تحقیق حاضر براساس جدول 3 تطابق خوبی با نتایج تحقیق الیویرا و همکاران [28] دارند. در نتیجه با توجه با شکل‌های 5 و 6 و نتایج جدول 3 می‌توان از صحت نتایج حل عددی میدان جریان اطمینان حاصل کرد.

4-2-2- ارزیابی صحت نتایج حل عددی میدان دما در این قسمت نتایج حاصل از حل عددی انتقال حرارت جریان آرام و توسعه‌یافته سیال نیوتینی در لوله در حالت دما و شار ثابت با نتایج تحلیلی آن جهت اطمینان از صحت حل عددی معادله انرژی مقایسه می‌شود. توزیع ناسلت موضعی جریان آرام و توسعه‌یافته سیال نیوتینی در شکل 7 نشان داده شده است. براساس شکل 7 مقدار ناسلت موضعی در طول لوله کاهش یافته و به مقدار تحلیلی، ۰.۳۶۶ رسیده است که مطابقت خوبی با حل تحلیلی آن دارد [29].

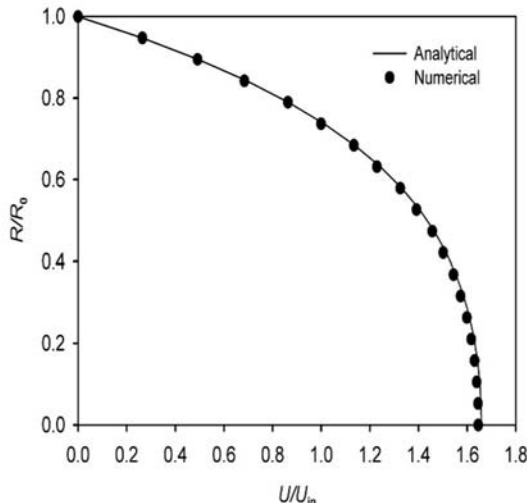


Fig. 6 Comparison of analytical and numerical solution of velocity profile of laminar and fully developed Viscoelastic fluid flow in the pipe

شکل 6 مقایسه حل تحلیلی و عددی توزیع سرعت جریان آرام و توسعه‌یافته سیال ویسکوالاستیک در لوله

جدول 3 مقایسه طول گردابهای تحقیق کنونی با نتایج الیویرا همکاران [28] برای نسبت انبساط ۱:۳ و اعداد رینولدز مختلف

ER	X_r/d [28]	X_r/d	Re
0.002	1.15	1.1480	10
0.0214	1.38	1.3586	12.5
0.025	1.87	1.8450	17.5
0.0609	2.64	2.5791	25
0.0494	3.71	3.6606	35
0.1048	5.33	5.2252	50
0.2179	10.8	10.5821	100

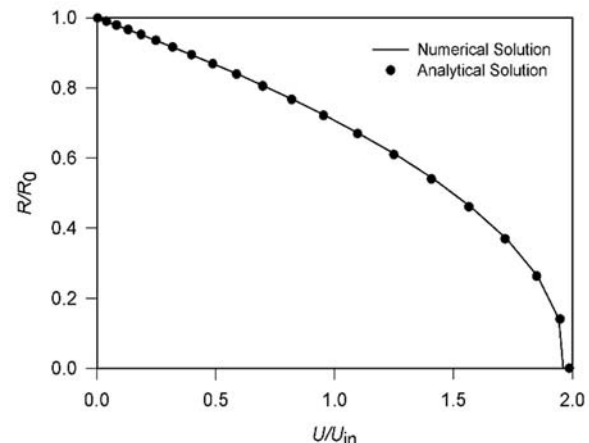
صحت نتایج حل عددی برنامه رایانه‌ای با در نظر گرفتن پارامترهای غیرنیوتینی به صورت مقادیر نزدیک به صفر مورد بررسی قرار می‌گیرد. نتایج حاصل از حل عددی جریان آرام و توسعه‌یافته سیال نیوتینی در لوله با حل تحلیلی آن (رابطه (29)) در شکل 5 مقایسه شده است. نتایج حاصل از حل عددی تطابق خوبی با نتایج حاصل از حل تحلیلی دارند.

حل تحلیلی بروفیل سرعت جریان آرام و توسعه‌یافته سیال ویسکوالاستیک با استفاده از معادله ساده‌شده فن-تین-تنر (SPTT) به صورت رابطه (30) تعریف می‌شود [27].

$$\begin{aligned} u^* &= \frac{u}{U} \\ &= 2 \frac{U_N}{U} \left[1 - \left(\frac{r}{R} \right)^2 \right] \left\{ 1 + 16\varepsilon We^2 \left(\frac{U_N}{U} \right)^2 \right. \\ &\quad \times \left. \left[1 + \left(\frac{r}{R} \right)^2 \right] \right\} \end{aligned} \quad (30)$$

نتایج حاصل از حل عددی جریان آرام و توسعه‌یافته سیال ویسکوالاستیک با حل تحلیلی آن (رابطه (30)) در شکل 6 مقایسه شده و نتایج حاصل از حل عددی با درصد خطای بسیار کمی بر نتایج تحلیلی منطبق است.

براساس بخش مقدمه این مطالعه تاکنون هیچ تحقیقی جریان آرام سیال ویسکوالاستیک در تبدیل واگرای متقاضان محوری را بررسی نکرده است. طول گردابهای ایجادشده در ناحیه انسپاس ناگهانی بهترین کمیت تبدیلات واگرای است که می‌توان از صحت نتایج حل عددی تحلیلی به آن اطمینان حاصل کرد. الیویرا و همکاران [28] جریان آرام سیال نیوتینی در تبدیل واگرای متقاضان محوری را در محدوده وسیعی از عدد رینولدز و نسبت انسپاس، $0.5 \leq Re \leq 200$ و $1.5 \leq ER \leq 4$ مورد مطالعه قرار داده‌اند. طول گردابهای حاصل از حل عددی تحقیق حاضر برای اعداد رینولدز مختلف و نسبت واگرای ۱:۳ با نتایج الیویرا [28] در جدول 3 مقایسه و خطای مطلق



شکل 5 مقایسه حل تحلیلی و عددی توزیع سرعت جریان آرام و توسعه‌یافته سیال نیوتینی در لوله

شکل 5 مقایسه حل تحلیلی و عددی توزیع سرعت جریان آرام و توسعه‌یافته سیال نیوتینی در لوله

ارائه می‌شود. این نتایج شامل بررسی تأثیر خاصیت الاستیک سیال بر طول توسعه‌یافته‌ی جریان، طول گردابهای و افت فشار جریان است. فهرستی از پارامترهای هیدرودینامیکی و حرارتی سیال مورد استفاده در مطالعه کنونی در جدول 4 بیان شده است.

سرعت روی مرکزی تبدیل و اگرای اعداد الاستیک مختلف در عدد رینولدز 20 در شکل 9 نشان داده و بی‌بعدسازی سرعت با استفاده از سرعت یکنواخت ورودی (U_{in}) انجام شده است. سرعت سیال تحت تأثیر لزجت سیال و اصطکاک با جداره در زمان ورود سیال با سرعت یکنواخت (U_{in}) به قسمت بالادست تبدیل و اگرای کاهش می‌یابد. لایه مرزی با پیشرفت جریان در امتداد دیواره گسترش یافته و تأثیر اصطکاک دیواره لوله بیشتر محسوس می‌شود. سرعت در ناحیه بدون اصطکاک مرکزی با کاهش گرادیان سرعت سیال نزدیک دیواره افزایش می‌یابد. سرانجام اثر ویسکوز در فاصله‌ای مناسب و دور از ورودی سراسر بخش بالادست را فراگرفته و جریان در قسمت بالادست تبدیل و اگرای به حالت توسعه‌یافته‌ی هیدرودینامیکی می‌رسد. سرعت سیال با تغییر ناگهانی سطح مقطع در ناحیه انسپاک ناگهانی کاهش یافته و دوباره با رشد لایه مرزی در ناحیه پایین دست تبدیل و اگرای به حالت توسعه‌یافته‌ی هیدرودینامیکی می‌رسد. براساس شکل 9 پایداری جریان با افزایش خاصیت الاستیک سیال افزایش یافته و بیشینه سرعت در ناحیه توسعه لوله بالادست به مقدار آن برای سیال نیوتونی یعنی دو برابر سرعت ورودی رسیده است. افزایش خاصیت الاستیک سیال سبب افزایش طول گردابهای و طول توسعه‌یافته‌ی جریان در قسمت‌های بالادست و پایین دست افزوده می‌شود.

در شکل 10 تأثیر افزایش خاصیت الاستیک بر توزیع فشار محوری

جدول 4 مقدار کمیت‌های مفروض این تحقیق

β	η_0 (Pa)	ρ (kg/m ³)	ϵ	ξ
0.27	1	1226	0.02	0.04
T_{in} (K)	T_w (K)	K_0 (W/mK)	K_0^* (1/C°)	K_s^* (1/C°)
303.15	400	0.008	0.775	0.00118
α (K)	C_{p0} (1/C°)	$C_{p,0}^*$ (1/C°)	$C_{p,s}^*$ (1/C°)	d (m)
1720	0.4	1.2122	-0.00112	0.1

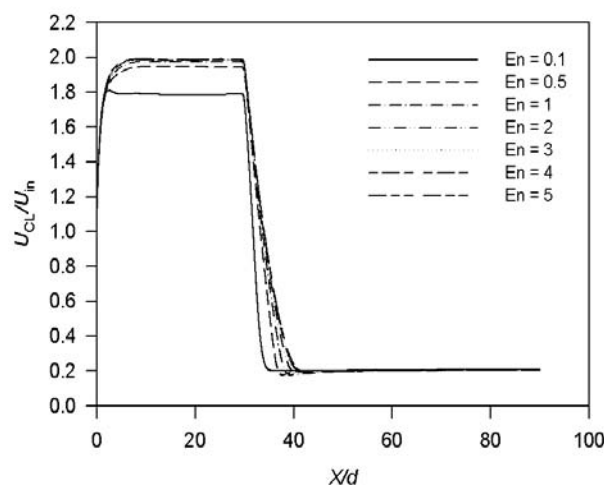


Fig. 9 Comparison of centerline velocity distribution of laminar and fully developed Viscoelastic fluid flow in the sudden expansion for $Re=20$, $Pr = 50$ and different elastic number

شکل 9 مقایسه سرعت جریان آرام و توسعه‌یافته سیال ویسکوالاستیک روی خط مرکزی تبدیل و اگرای به ارزی $Re = 20$, $Pr = 50$ و اعداد الاستیک مختلف

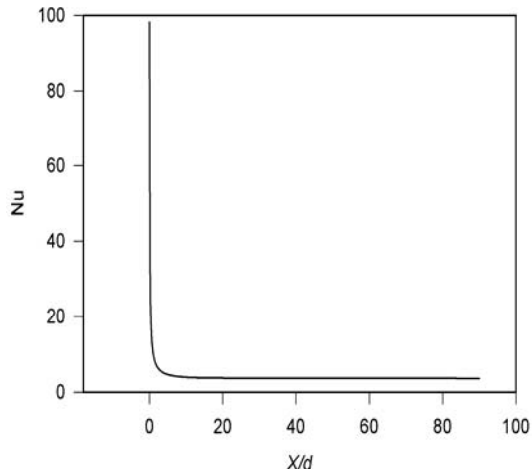


Fig. 7 Local nusselt distribution of laminar and fully developed Newtonian fluid flow in the pipe at constant temperature case

شکل 7 توزیع ناصلت موضعی جریان آرام و توسعه‌یافته سیال نیوتونی در لوله در حالت دما ثابت

حل تحلیلی توزیع دمای جریان آرام و توسعه‌یافته سیال نیوتونی در لوله در حالت شار ثابت به صورت رابطه (31) بیان می‌شود [29].

$$T(r) = T_w + \frac{q'' r_0}{k} \left[\left(\frac{r}{r_0} \right)^2 - \frac{1}{4} \left(\frac{r}{r_0} \right)^2 - \frac{3}{4} \right] \quad (31)$$

نتایج حاصل از حل عددی توزیع دمای جریان آرام و توسعه‌یافته سیال نیوتونی در حالت شار ثابت در لوله با نتایج تحلیلی آن (رابطه (31)) در شکل 8 مقایسه شده است. براساس شکل 8 نتایج حاصل از حل عددی با درصد خطای بسیار کمی با نتایج حل تحلیلی مطابقت دارد.

4-3- نتایج حاصل از حل میدان جریان

در این قسمت نتایج حاصل از بررسی پارامترهای هیدرودینامیکی جریان سیال ویسکوالاستیک در تبدیل و اگرای مقارن محوری با نسبت انسپاک 1:3

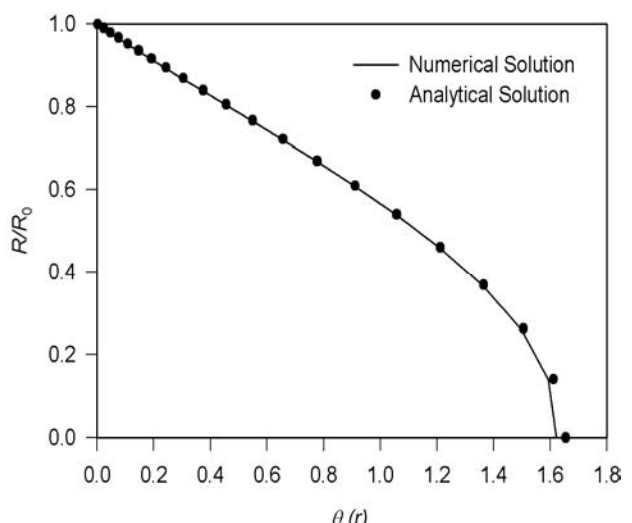


Fig. 8 Comparison of analytical and numerical solution of temperature distribution of laminar and fully developed Newtonian fluid flow in the pipe

شکل 8 مقایسه حل تحلیلی و عددی توزیع دمای جریان آرام و توسعه‌یافته سیال نیوتونی در لوله

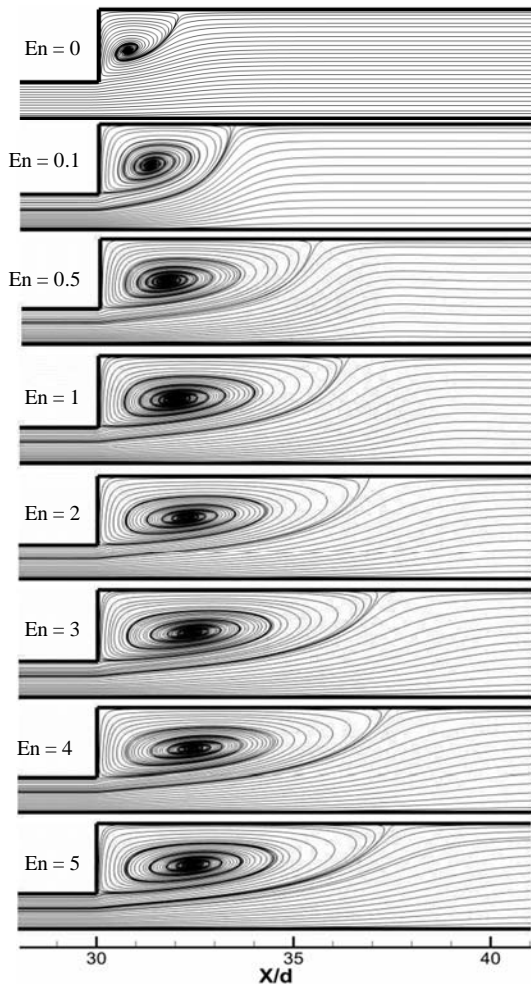


Fig. 11 Stream line of Newtonian and Viscoelastic fluid flow in $Re=20$, $Pr=50$ and different elastic number

شکل 11 خطوط جریان سیال نیوتونی و ویسکوالاستیک در $Re=20$, $Pr=50$ و اعداد الاستیک مختلف

انتقال حرارت رسانشی است و عدد ناسلت در ناحیه در حال توسعه حرارتی با افزایش عدد رینولذز به دلیل افزایش سهم انتقال حرارت جابه‌جایی نسبت به انتقال حرارت رسانشی افزایش می‌یابد. ناسلت در ناحیه کاملاً توسعه‌یافته حرارتی ثابت و مستقل از عدد رینولذز و پرانتل به مقدار ثابتی می‌رسد. دما در قسمت بالادست تبدیل واگرا در حال توسعه حرارتی و عدد ناسلت در ورودی ناحیه انبساط ناگهانی (خروجی لوله بالادست) مقدار متفاوتی را دارد.

شکل 13 توزیع ناسلت موضعی دیواره پایین دست تبدیل واگرا به ازای اعداد رینولذز مختلف نشان می‌دهد. با توجه به مطلب یادشده از شکل 12 ناسلت موضعی در ناحیه در حال توسعه حرارتی با افزایش عدد رینولذز افزایش یافته است. البته طول کل لوله پایین دست تبدیل واگرا به میزان لازم بلند در نظر گرفته شده است. جریان به حالت کاملاً توسعه‌یافته حرارتی رسیده و عدد ناسلت در انتهای لوله پایین دست برای تمامی اعداد رینولذز تقریباً به مقدار ثابتی رسیده است. براساس شکل 13 روند تغییرات ناسلت موضعی دیواره پایین دست تبدیل واگرا کاملاً با دیواره بالادست متفاوت است. در این شکل ناسلت موضعی به ازای تمامی اعداد رینولذز تا دستیابی به نقطه اوج افزایش و سپس کاهش می‌یابد. انتقال حرارت جابه‌جایی در ناحیه انبساط ناگهانی به دلیل سرعت بسیار کم سیال و تشکیل گردابهای کاهش و انتقال

$(p^* = p / \frac{1}{2} \rho U_{in}^2)$ بررسی شده است. توزیع فشار خطی در منطقه بالادست و پایین دست تبدیل واگرا نشان دهنده جریان توسعه‌یافته پیش و پس از ناحیه انبساط ناگهانی است.

براساس شکل 10 افزایش خاصیت الاستیک سیال سبب کاهش فشار محوری جریان در تبدیل واگرا شده است. با توجه به موارد یادشده در خصوص شکل 9 مقاومت پلیمری سیال با افزایش خاصیت الاستیک و همچنین بیشینه سرعت در ناحیه توسعه‌یافته افزایش می‌یابد؛ بنابراین فشار با افزایش سرعت روی خط مرکزی کاهش می‌یابد و این رفتار به روشنی در شکل 10 قابل مشاهده است.

خطوط جریان سیال نیوتونی ($En = 0$) و سیال ویسکوالاستیک برای اعداد الاستیک مختلف در عدد رینولذز 20 در شکل 11 نشان داده شده است. تغییرات طول گردابهای پس از عدد الاستیک یک به دلیل افزایش مقاومت پلیمری سیال در برابر تغییر شکل‌ها با افزایش خاصیت الاستیک و نشان داده شده در شکل 11 کمتر می‌شود. تغییرات طول گردابهای در اعداد الاستیک بالا به دلیل تجمع تغییر شکل‌ها در المان سیال کمتر می‌شود.

4- نتایج حاصل از میدان دما

در این بخش نتایج حاصل از انتقال حرارت جریان اینرسی سیال ویسکوالاستیک در تبدیل واگرای متقاضن محوری با نسبت انبساط 1:3 ارائه می‌شود. نتایج برای حالت دمای ثابت دیواره‌ها ارائه می‌شود. سیال با دمای مشخصی به ورودی لوله وارد می‌شود. شرط مرزی تقارن برای مرز پایین در نظر گرفته شده است. در خروجی از شرط مرزی ($dT/dZ = 0$) به عنوان شرط توسعه‌یافته حرارتی جریان و با توجه به میزان مناسب بزرگ لحاظ کردن طول کل لوله با تقریب خوبی می‌توان استفاده کرد.

شکل 12 تأثیر افزایش عدد رینولذز بر توزیع ناسلت موضعی دیواره بالادست تبدیل واگرا نشان می‌دهد. براساس شکل 12 افزایش عدد رینولذز سبب افزایش ناسلت موضعی دیواره بالادست تبدیل واگرا شده است. زمان تماس و تبادل حرارت سیال با دیواره با افزایش عدد رینولذز (منجر به افزایش انرژی جنبشی جریان می‌شود) کمتر شده و در نتیجه شب پروفیل دما در مجاورت دیواره کاهش می‌یابد. عدد ناسلت نسبت انتقال حرارت جابه‌جایی به

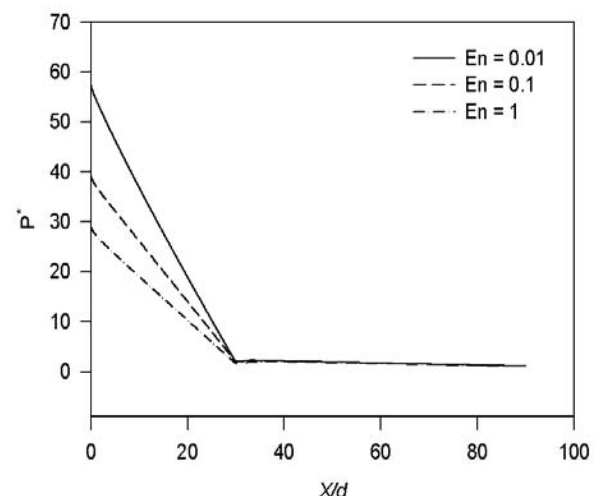
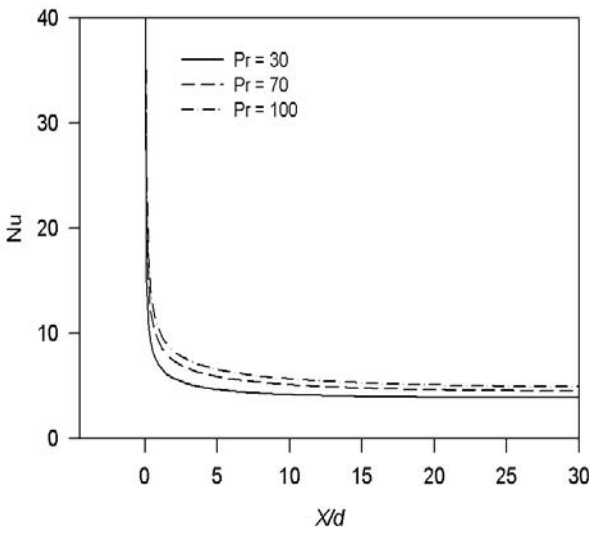


Fig. 10 Comparison of center line pressure distribution of Viscoelastic fluid flow for $Re = 20$, $Pr = 50$ and different elastic number

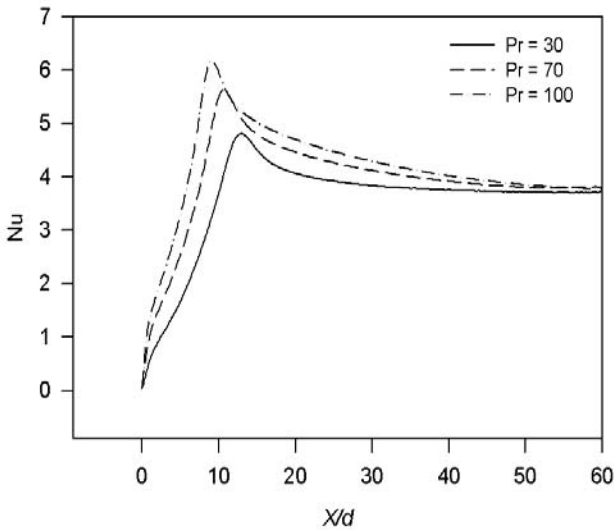
شکل 10 مقایسه تغییرات فشار محوری جریان سیال ویسکوالاستیک روی خط مرکزی تبدیل واگرا به ازای $Re = 20$, $Pr = 50$ و اعداد الاستیک مختلف

($\alpha = k/\rho c_p$) بسیار کوچکی هستند، به گونه‌ای که بسیاری از آن‌ها از جمله عایق‌های حرارتی محسوب می‌شوند [26]؛ بنابراین عدد پرانتل را بزرگ لحاظ کردن منطقی به نظر می‌رسد. افزایش عدد پرانتل سبب افزایش ناسلت موضعی در ناحیه در حال توسعه حرارتی برای دیوارهای بالادست و پایین‌دست تبدیل واگرای شده است. نسبت پخش هیدرودینامیکی جریان به پخش گرما با افزایش عدد پرانتل بیشتر می‌شود. لایه مرزی حرارتی با توجه بزرگ در نظر گرفتن طول کل لوله در فاصله بیشتر در خروجی از طول لوله کامل شده و به حالت کاملاً توسعه‌یافته حرارتی می‌رسد. انتقال حرارت جابه‌جایی نسبت به انتقال حرارت رسانشی در پخش گرما با افزایش عدد پرانتل سهم بیشتری دارد و سبب افزایش عدد ناسلت در ناحیه در حال توسعه حرارتی می‌شود. جریان در لوله بالادست تبدیل واگرای در حالت در حال توسعه حرارتی بوده و در لوله پایین‌دست تبدیل واگرای به حالت کاملاً



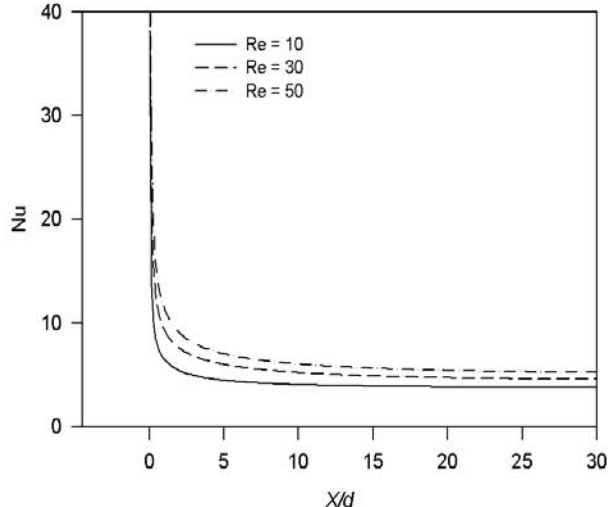
شکل 14 توزیع ناسلت موضعی دیواره بالادست تبدیل واگرای برای $Re=20$ ، $En=1$ و $Pr=30, 70, 100$

شکل 14 توزیع ناسلت موضعی دیواره بالادست تبدیل واگرای برای $Re=20$ ، $En=1$ و $Pr=30, 70, 100$



شکل 15 توزیع ناسلت موضعی دیواره پایین‌دست تبدیل واگرای برای $Re = 20$ ، $En = 1$ و $Pr = 30, 70, 100$

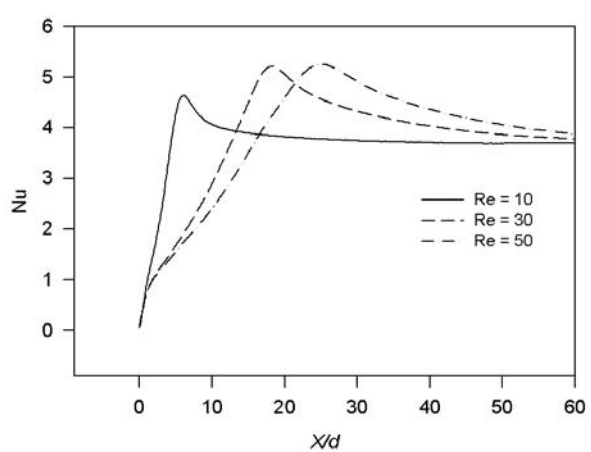
شکل 15 توزیع ناسلت موضعی دیواره پایین‌دست تبدیل واگرای برای $Re = 20$ ، $En = 1$ و $Pr = 30, 70, 100$



شکل 12 توزیع ناسلت موضعی دیواره بالادست تبدیل واگرای به ازای $En=1$ ، $Pr=50$ و اعداد رینولدز مختلف

حرارت رسانشی افزایش می‌یابد و در نتیجه عدد ناسلت در ناحیه انبساط ناگهانی بسیار کم است، همچنین با توجه به شکل 13 مقدار بیشینه ناسلت موضعی دیواره پایین‌دست تبدیل واگرای با افزایش عدد رینولدز (منجر به رشد طول و قدرت گردابه‌ها می‌گردد) افزوده شده و بیشتر به سمت پایین‌دست جریان پیشروعی کرده است. به تدریج ناسلت موضعی پس از ناحیه گردابه به ذلیل افزایش ناگهانی سرعت افزایش می‌یابد. مقدار بیشینه ناسلت در شکل 13 تقریباً جای پایان‌یافته گردابه‌ها و روند تغییرات ناسلت مانند لوله صاف شده است. در نتیجه ناسلت موضعی با افزایش ضخامت لایه مرزی حرارتی پس از نقطه اوج تا زمان رسیدن جریان به حالت کاملاً توسعه‌یافته حرارتی کاهش یافته است.

تأثیر عدد پرانتل بر توزیع ناسلت موضعی دیواره‌های بالادست و پایین‌دست تبدیل واگرای در شکل‌های 14 و 15 مورد بررسی قرار گرفته است. بیشتر سیالات غیرنیوتی مانند مواد پلیمری دارای ضریب نفوذ حرارتی



شکل 13 توزیع ناسلت موضعی دیواره پایین‌دست تبدیل واگرای به ازای $En=1$ ، $Pr=50$ و اعداد رینولدز مختلف

بیشینه سرعت برای لوله بالادست در حالت توسعه یافته به عدد الاستیک وابسته است. در حقیقت پایداری جریان با فزونی خاصیت الاستیک سیال افزوده و بیشترین مقدار سرعت در حالت توسعه یافته به مقدار آن برای سیال نیوتونی نزدیک‌تر می‌شود.

افزایش خاصیت الاستیک سیال سبب افزایش طول گردابه‌ها می‌شود. تغییرات طول گردابه‌ها در اعداد الاستیک بالا به دلیل افزایش مقاومت پلیمری سیال ویسکوالاستیک در برابر تغییر شکل‌ها کمتر می‌شود.

افزایش خاصیت الاستیک سیال سبب کاهش فشار جریان می‌شود. شبیب پروفیل سرعت در مجاورت دیواره با فزونی خاصیت الاستیک سیال، که بیشتر شدن مقاومت پلیمری سیال را درپی دارد، کاهش می‌یابد. سرعت در خط مرکزی با کاهش شبیب پروفیل سرعت در مجاورت دیواره با توجه به ثابت بودن دبی جریان در هر مقطع افزایش یافته که کاهش فشار را موجب می‌شود.

برای میدان دما نیز نتایج بیان شده در زیر حاصل شده است. زمان تماس و تبادل حرارت سیال با دیواره با افزایش عدد رینولدز (افزایش انرژی جنبشی جریان را منجر می‌شود) کاهش یافته و دمای سیال در مجاورت دیواره نسبت به اعداد رینولدز کمتر در ناحیه در حال توسعه حرارتی کاهش می‌یابد. ضریب انتقال حرارت جایه‌جایی با کاهش دمای سیال مجاور دیواره و عدد ناسلت در ناحیه در حال توسعه حرارتی افزایش می‌یابد.

توزیع ناسلت موضعی دیواره پایین دست تبدیل واگرای شیوه‌یابی مقدار ناسلت موضعی در ناحیه گردابه‌های پایان یافته است. بیشنه ناسلت با افزایش عدد رینولدز به دلیل رشد طول و قدرت گردابه‌ها بیشتر به سمت پایین دست پیشروی می‌کند.

افزایش عدد پرانتل سبب افزایش عدد ناسلت در ناحیه در حال توسعه حرارتی می‌شود. عدد ناسلت در ناحیه کاملاً توسعه یافته حرارتی ثابت و مستقل از عدد رینولدز، پرانتل و بیرکمن است.

ناسلت سیال ویسکوالاستیک در یک عدد رینولدز ثابت بیش از سیال نیوتونی است.

- توسعه یافته حرارتی می‌رسد و عدد ناسلت به مقداری متفاوت در انتهای لوله بالادست و مقداری ثابت در تمامی اعداد پرانتل در انتهای لوله پایین دست رسیده است.

توزیع ناسلت موضعی دیواره پایین دست تبدیل واگرای جریان سیال نیوتونی و ویسکوالاستیک در شکل 16 قیاس شده است. با نگاهی به پیش‌بینی در این خصوص ناسلت سیال ویسکوالاستیک بیشتر از ناسلت سیال نیوتونی است. جریان سیال ویسکوالاستیک در یک عدد رینولدز ثابت به دلیل بسیاری ویسکوزیته آن نسبت به جریان سیال نیوتونی دارای انرژی جنبشی افزون‌تری است که سبب می‌شود دمای سیال ویسکوالاستیک در مجاورت دیواره نسبت به جریان سیال نیوتونی کاهش یافته و ضریب انتقال حرارت جایه‌جایی در جریان سیال ویسکوالاستیک بیش از جریان سیال نیوتونی شود. در نتیجه بیشینه ناسلت موضعی سیال ویسکوالاستیک بیش از سیال نیوتونی است. براساس شکل 16 بیشینه ناسلت موضعی برای جریان سیال ویسکوالاستیک به دلیل فزونی طول گردابه‌های سیال ویسکوالاستیک نسبت به سیال نیوتونی بیشتر به سمت پایین دست پیشروی کرده است.

5- جمع‌بندی نتایج

شبیه‌سازی عددی جریان و انتقال حرارت سیال ویسکوالاستیک در تبدیل واگرای متقارن محوری در این پژوهش با نسبت انبساط 1:3 مطالعه شده است. معادله مشکله فن-تین-تتر غیرخطی برای شبیه‌سازی ترم تنفس سیال ویسکوالاستیک مورد استفاده قرار گرفته است. برخی از خواص رئولوژیکی و ترمودینامیکی سیال ویسکوالاستیک به صورت تابعی از دما محسوب شده که این فرض در حل معادله انرژی با توجه به واستگی بسیار برخی از خواص سیال ویسکوالاستیک به دما ضروری است. نتایج این بررسی برای میدان جریان به شرح زیر است.

- طول توسعه یافته‌ی هیدرودینامیکی جریان با افزایش خاصیت الاستیک سیال که افزایش طول گردابه‌ها را درپی دارد در قسمت‌های بالادست و پایین دست افزایش می‌یابد.

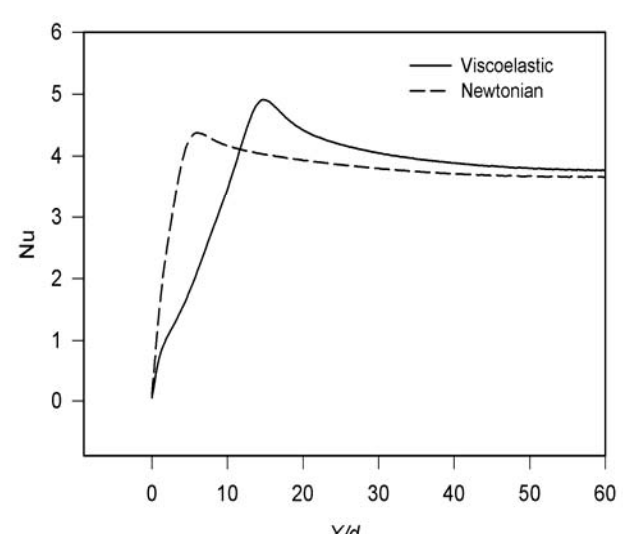


Fig. 16 Comparison of nusselt number distribution of downstream wall of sudden expansion in $Re = 20$ and $Pr = 50$ for a) Newtonian fluid flow ($En = 0$) and b) Viscoelastic fluid flow ($En = 1$)

شکل 16 مقایسه ناسلت موضعی دیواره پایین دست تبدیل واگرای به ازای 20 و $Pr = 50$ برای (الف) جریان سیال نیوتونی ($En = 0$) (ب) جریان سیال ویسکوالاستیک ($En = 1$)

- Engineering*, Vol. 13, No. 3, pp. 28-36, 2013. (in Persian)
- [6] R. Manica, A. L. De Bortoli, Simulation of sudden expansion flows for power-law fluids, *Non-Newtonian Fluid Mechanics*, Vol. 121, No. 7, pp. 35–40, 2004.
- [7] P. Ternik, Planar sudden symmetric expansion flows and bifurcation phenomena of purely viscous shear-thinning fluids, *Non-newtonian Fluid Mechanics*, Vol. 157, No. 15, pp. 15–25, 2009.
- [8] P. Ternik, New contributions on laminar flow of inelastic non-Newtonian fluid in the two-dimensional symmetric expansion: Creeping and slowly moving flow conditions, *Non-Newtonian Fluid Mechanics*, Vol. 165, No. 5, pp. 1400–1411, 2010.
- [9] F. T. Pinho, P. J. Oliveira, J. P. Miranda, Pressure losses in the laminar flow of shear-thinning power-law fluids across a sudden axisymmetric expansion, *Heat and Fluid Flow*, Vol. 24, No. 12, pp. 747–761, 2003.
- [10] S. Dhinkaran, M.S.N. Oliveira, F.T. Pinho, M.A. Alves, Steady flow of power-law fluids in a 1:3 planar sudden expansion, *Non-Newtonian Fluid Mechanics*, Vol. 198, No. 5, pp. 45–48, 2013.
- [11] G. N. Rocha, J. R. Poole, J. Oliveira, Bifurcation phenomena in Viscoelastic flows through a symmetric 1:4 expansion, *Non-Newtonian Fluid Mechanics*, Vol. 141, No. 9, pp. 1–17, 2007.
- [12] R.J. Poole, F.T. Pinho, M.A. Alves, P. J. Oliveira, The effect of expansion ratio for creeping expansion flows of UCM fluids, *Non-Newtonian Fluid Mechanics*, Vol. 163, No. 6, pp. 35–44, 2009.
- [13] R. J. Poole, M. A. Alves, P. J. Oliveira, F. T. Pinho, Plane sudden expansion flows of viscoelastic liquids, *Non-Newtonian Fluid Mechanics*, Vol. 146, No. 2, pp. 79–91, 2007.
- [14] P. J. Oliveira, Asymmetric flows of viscoelastic fluids in symmetric planar expansion geometries, *Non-Newtonian Fluid Mechanics*, Vol. 114, No. 7, pp. 33–63, 2003.
- [15] B. Pak, Y. I. Cho, S. U. S. Choi, Separation and reattachment of non-newtonian fluid flows in a sudden expansion pipe, *Non-Newtonian Fluid Mechanics*, Vol. 37, No. 9, pp. 175–199, 1990.
- [16] M. Norouzi, M. M. Shahmardan, A. S. Zahiri, Bifurcation phenomena of inertial viscoelastic fluid flow through gradual expansions, *Journal of Rheology Acta*, Vol. 54, No. 123, pp. 423–435, 2015.
- [17] S. K. Moshet, A. Q. Rishak, E. S. Hamdi, Effect of Prandtl Number on Heat Transfer Enhancement for Non-Newtonian Fluid Flow inside a Sudden Expansion, *Mechanical Engineering*, Vol. 41, No. 7, pp. 1137–1141, 2013.
- [18] P. S. B. Zdanski, Jr. M. Vaz, polymer melt flow in sudden expansion: the effect of viscous, *Thermal Engineering*, Vol. 7, No. 1, pp. 65–70, 2008.
- [19] P. S. B. Zdanski, Jr. M. Vaz, Non-isothermal polymer melt flow in sudden expansion, *Non-Newtonian Fluid Mechanics*, Vol. 161, No. 5, pp. 42–47, 2009.
- [20] P. S. B. Zdanski, Jr. M. Vaz, Three-dimensional polymer melt flow of power-law fluids in a 1:3 planar sudden expansion, *Non-Newtonian Fluid Mechanics*, Vol. 198, No. 5, pp. 45–48, 2013.
- [21] P. S. B. Zdanski, Jr. M. Vaz, A. P. C. Dias, Forced convectionheat transfer of polymer melt flow inside channels whit contraction/ expansion section, *Heat and Mass Transfer*, Vol. 38, No. 11, pp. 1335–1339, 2011.
- [22] B. Pak, Y. I. Cho, S. U. S. Choi, A study of turbulent heat transfer in a sudden expansion pipe whit drag-reducing viscoelastic fluid, *Heat and Mass Transfer*, Vol. 34, No. 4, pp. 1195–1208, 1991.
- [23] F. M. White, *Viscous Fluid Flow*, 3rd Edition, Vol. 3, pp. 96–205, NewYork: MC Graw-Hill, 2006.
- [24] N. Phan-Thien, R. I. Tanner, A new constitutive equation derived from network theory, *Non-Newtonian Fluid Mechanics*, Vol. 2, No. 6, pp. 353–365, 1997.
- [25] N. Phan-Thein, non-linear network viscoelastic model, *Rheology*, Vol. 22, pp. 259–283, 1978.
- [26] J. E. Mark, *Physical properties of polymers Handbook*, pp. 105– 111, Springer, 2007.
- [27] P.J. Oliveira, F.T. Pinho, Analytical solution for fully developed channel and pipe flow of Phan-Thien-Tannerfluids, *Fluid Mechanics*, Vol. 387, No. 25, 271-280, 271-280.
- [28] P. J. Oliveira, F. T. Pinho, A. Schulte, A general correlation for the local loss coefficient in Newtonian axisymmetric sudden expansions, *Heat and Fluid Flow*, Vol. 19, No. 19, pp. 655–660, 1998.
- [29] F. P. Incropera, D. P. DeWitt, T. L. Bergman, A. S. Lavine, *Introduction to Heat Transfer*, 7th Edition, Vol. 8, pp. 524–538, USA: John Wiley & Sons, 2013.

فشار ($\text{kgm}^{-1}\text{s}^{-2}$)	P
عدد پرانتل	Pr
شار دیواره (Wm^{-2})	q''
عدد رینولدز	Re
دما (K)	T
سرعت یکنواخت ورودی (ms^{-1})	U_{in}
بردار سرعت (ms^{-1})	\vec{V}
عدد واپنبرگ	We
علایم یونانی	
نسبت لزجت سیال حلal به لزجت محلول	β
نرخ برش (s^{-1})	$\dot{\gamma}$
پارامتر بدون بعد کشش مدل رئولوژیکی فن - تین - تر	ϵ
لزجت ($\text{kgm}^{-1}\text{s}^{-1}$)	η
دمای بدون بعد	θ_b
زمان رهایی از تنش (s)	λ
پارامتر بدون بعد تنظیم‌پذیر مدل رئولوژیکی فن - تین - تر	ξ
چگالی (kgm^{-3})	ρ
تانسور تنش ($\text{kgm}^{-1}\text{s}^{-2}$)	τ
بالا نویس	
پارامتر بدون بعد	*
زیرنویس‌ها	
خط مرکزی تبدیل و اگرا	CL
ورودی	in
نوع سیال نیوتی	n
نوع سیال پلیمری	p
مؤلفه شعاعی	r
دیواره	w
مؤلفه محوری	z

7- مراجع

- [1] F. Durst, A. Melling, J. H. Whitelaw, Low Reynolds number flow over a plane symmetric sudden expansion, *Fluid Mechanics*, Vol. 64, No. 16, pp. 111–128, 1974.
- [2] W. Chedron, F. Durst, J. H. Whitelaw, Asymmetric flows and instabilities in symmetric ducts with sudden expansions, *Fluid Mechanics*, Vol. 84, No. 8, pp. 13–31, 1978.
- [3] Y. Ouwa, M. Watanabe, H. Asawa, Flow visualization of a two- dimensional water jet in a rectangular channel, *Applied Physics*, Vol. 20, No. 4, pp. 243–247, 1981.
- [4] T. Kondoh, Y. Nagano, T. Tsuji, Computational study of laminar heat transfer downstream of a backward-facing step, *Heat and Mass Transfer*, Vol. 36, No. 3, pp. 577–591, 1993.
- [5] M. M. Shahmardan, M. Norouzi, A. S. Zahiri, instability investigation of Newtonian flow in a planar gradual expansion, *Modares Mechanical*